

## บทที่ 2

### หลักการและกฎหมาย

#### 2.1 กฎหมายการทำความสะอาดข้าวเปลือกแบบตะแกรงโยก

##### 2.1.1 ขนาดข้าวเปลือก

ข้าวเปลือกที่ปลูกในประเทศไทยส่วนมากจะเป็น พันธุ์ชัยนาท 1 , พันธุ์พิมพ์โลก 2 , พันธุ์สุพรรณบุรี 1 ได้ทำการวัดขนาดข้าวเปลือกที่ความชื้นต่างๆ กันซึ่งได้ข้าวเปลือกมีขนาดโดยเฉลี่ยเป็นตัวต่อไปนี้

##### 2.1.1.1 พันธุ์ชัยนาท 1

ตารางที่ 2.1 ขนาดของข้าวเปลือกพันธุ์ชัยนาท 1 ที่ความชื้นต่างๆ

พันธุ์ชัยนาท 1	ขนาดของข้าวเปลือก (mm)		
	ยาว	กว้าง	หนา
ที่ความชื้น 11 %	10.61	2.35	1.96
ที่ความชื้น 18 %	10.54	2.61	2.08
ที่ความชื้น 23 %	10.92	2.86	2.23
ค่าที่นำไปใช้	10.92	2.86	2.23

##### 2.1.1.2 พันธุ์พิมพ์โลก 2

ตารางที่ 2.2 ขนาดของข้าวเปลือกพันธุ์พิมพ์โลก 2 ที่ความชื้นต่างๆ

พันธุ์พิมพ์โลก 2	ขนาดของข้าวเปลือก (mm)		
	ยาว	กว้าง	หนา
ที่ความชื้น 11 %	10.46	2.38	1.90
ที่ความชื้น 18 %	10.66	2.61	2.16
ที่ความชื้น 23 %	10.68	2.63	2.18
ค่าที่นำไปใช้	10.68	2.63	2.18

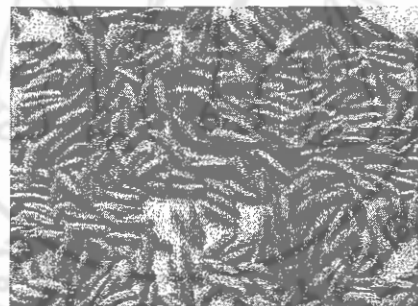
### 2.1.1.3 พันธุ์สูตรผลบุรี 1

ตารางที่ 2.3 ขนาดของข้าวเปลือก ที่ความชื้นต่างๆ

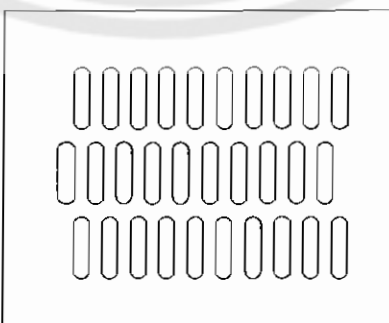
พันธุ์สูตรผลบุรี 1	ขนาดของข้าวเปลือก (mm)		
	ยาว	กว้าง	หนา
ที่ความชื้น 11 %	10.15	2.38	1.98
ที่ความชื้น 18 %	10.50	2.49	2.06
ที่ความชื้น 23 %	10.47	2.55	2.13
ค่าที่นำไปใช้	10.50	2.55	2.13

### 2.1.2 ลักษณะตะแกรงทำความสะอาดข้าวเปลือก

จากการวัดขนาดข้าวเปลือกจะเห็นได้ว่า ข้าวเปลือกมีลักษณะเป็นทรงกระบอกปลายแหลม หั้งสองด้านดังรูปที่ 2.1 จึงออกแบบตะแกรงทำความสะอาดข้าวเปลือกให้รูตะแกรงมีลักษณะเป็นรูสี่เหลี่ยมลักษณะของข้าวเปลือกดังรูปที่ 2.2



รูปที่ 2.1 รูปข้าวเปลือก



รูปที่ 2.2 รูปลักษณะรูตะแกรงทำความสะอาดข้าวเปลือก

## 2.1.3 หลักการคำนวณสะภาคข้าวเปลือก

การคำนวณสะภาคข้าวเปลือกแบบตะแกรงโดย จะมีมอเตอร์เป็นต้นกำลังในการให้ ตะแกรงโดยไปมา เพื่อทำให้ข้าวเปลือกสันและกระจายตัวให้ลงสู่ตะแกรง สิ่งสกปรกที่มีขนาด ใหญ่กว่ารูตะแกรงจะตกอยู่บนตะแกรงชั้นนั้น ข้าวเปลือกและสิ่งสกปรกที่เล็กกว่าจะถูกส่งลงสู่ ตะแกรงชั้นต่อไป จนถึงตะแกรงชั้นสุดท้ายที่รูตะแกรงมีขนาดเล็กกว่าข้าวเปลือกที่จะทำให้ ข้าวเปลือกตกอยู่บนตะแกรงชั้นสุดท้ายแต่ ผู้นั้น ทราบ ที่มีขนาดเล็กกว่ารูตะแกรงจะถูกส่งออก ไปสู่ตู้รับผู้นั้น แต่ละชั้นของตะแกรงจะมีถังรองรับสิ่งสกปรก ทาง ข้าวเปลือก ผู้นั้นเพื่อนำไปทิ้ง และส่วนอื่นๆใช้ประโยชน์ต่อไป

## 2.2 ทฤษฎีความแข็งแรงของโครงสร้าง

### 2.2.1 ความเคน

ความเคน(Stress) คือ คืออัตราส่วนของแรงต่อพื้นที่หน้าตัด ความเคนอย่างง่าย (Simple stress) มีอยู่ 3 ชนิด คือ ความเคนดึง ความเคนกด และความเคนเฉือน

**2.2.1.1 ความเคนดึง (Tensile Stress)  $\sigma_t$** , คือแรงกระทำบนหน้าตัดที่เกิดขึ้นอยู่ในแนวตั้งจากกับ หน้าตัดและมีทิศทางออกจากหน้าตัด ดังสมการ

$$\sigma_t = \frac{F}{A} \quad (2.1)$$

**2.2.1.2 ความเ肯กด (Compressive Stress)  $\sigma_c$**  คือแรงที่มีทิศทางตั้งฉากผูกเข้าหาหน้าตัด ดังสมการ

$$\sigma_c = \frac{F}{A} \quad (2.2)$$

**2.2.1.3 ความเคนเฉือนในหน้าตัด (Shear Stress)  $\tau$**  เป็นความเคนนั้นมีทิศทางขนานไปกับหน้าตัด ดังจะหาได้จากสมการ

$$\tau = \frac{F}{A} \quad (2.3)$$

ถ้าหน้าตัดของชิ้นงานที่รับแรงเฉือนมากกว่าหนึ่งแห่ง ความเคนเฉือนที่เกิดขึ้นในหน้าตัด จะเท่ากับ

$$\tau = \frac{F}{2A} \quad (2.4)$$

## 2.2.2 ความเครียด

ความเครียด (Strain)  $\varepsilon$  เมื่อวัดถูกกระทำโดยแรงภายนอกหรือมีความเกินเกิดขึ้น วัดถู้นั้นจะเกิดการเปลี่ยนแปลงขนาดและฐานปร่างจากเดิมไป  $\Delta L$  การเปลี่ยนแปลงดังกล่าวเมื่อเทียบกับขนาดหรือฐานปร่างเดิม  $L$  เพราะฉะนั้นความเครียดนี้จะเท่ากับ

$$\varepsilon = \frac{\Delta L}{L} \quad (2.5)$$

## 2.2.3 โมเมนต์บิด (Tensional)

คือ โมเมนต์ที่กระทำรอบแกนที่ดึงออกจากกับพื้นที่หน้าด้านซึ่งส่วนเครื่องจักรกลที่มีพื้นที่หน้าดักกลมอยู่ภายในได้โมเมนต์บิด (Torque) จะบิดไปเป็นมุม  $\theta$  เท่ากับ

$$\theta = \frac{TL}{GJ} \quad (2.6)$$

โดยที่  $T$  = โมเมนต์บิด , N.m

$L$  = ความยาว , m

$J$  = โมเมนต์ความเนื้อยางขึ้วของพื้นที่ (polar area moment of inertia),  $m^4$

$G$  = ค่ามอตดูลัสความแข็งแกร่งของวัสดุ , Pa

$$\text{โมเมนต์ความเนื้อยางขึ้วสำหรับท่อนกลมคัน} = \frac{\pi}{32} d^4 \quad (2.7)$$

โดยที่  $d$  = ขนาดเส้นผ่านศูนย์กลางภายนอก , m

$$\text{โมเมนต์ความเนื้อยางขึ้วสำหรับท่อนกลมกลวง} = \frac{\pi}{32} (d^4 - d_i^4) \quad (2.8)$$

โดยที่  $d$  = ขนาดเส้นผ่านศูนย์กลางภายนอก , m

$d_i$  = ขนาดเส้นผ่านศูนย์กลางภายใน , m

ความเกินเหลือนที่เกิดจากการบิดจะมีค่าสูงสุดที่ผิวนอกของท่อนกลมนี้ ซึ่งสามารถคำนวณได้จากสมการ

$$\tau = \frac{Tr}{J} \quad (2.9)$$

โดยที่  $\tau$  = ความเกินเหลือนในหน้าด้าน , Pa

$T$  = โมเมนต์บิด , N.m

$r$  = รัศมีภายนอกของท่อนกลม , m

$J$  = โมเมนต์ความเคลื่อนเชิงข้อของพื้นที่(polar area moment of inertia) ,m

คำนวณหาค่าโมเมนต์บิดได้จาก

$$\omega_p = T\omega = 2\pi nT \quad (2.10)$$

โดยที่  $\omega_p$  = กำลังงานเป็น , w

$T$  = โมเมนต์บิด , N.m

$\omega$  = ความเร็วเชิงมุมเป็น , rad/s

$n$  = ความเร็วรอบเป็น , rev/s

#### 2.2.4 ความคันที่ร้อยต่อคัวยลิ่ม

เมื่อใช้ลิ่มคู่เพลากับคุณล้อเพื่อส่งโมเมนต์บิด ความคันที่เกิดขึ้นนี้เป็นผลมาจากการแรง 2 ชนิดคือ

- 1) แรงเนื้องจาก การส่วนอัดลิ่มลงในร่องลิ่ม
  - 2) แรงเนื้องจาก การส่งโมเมนต์บิด ทำให้เกิดความคันกัดและความคันเฉือนในลิ่ม
- ในการหาความคันที่เกิดขึ้นในลิ่มนั้น ใช้ข้อสมมติฐานดังนี้ คือ แรงที่กระชาญคลอด
- 1) ความยาวของลิ่มมีค่าสามมิตร
  - 2) ไม่คิดแรงที่เกิดจากการส่วนอัดลิ่ม

จากข้อสมมติฐานที่ได้กล่าวมาแล้ว เมื่อคิดว่าลิ่มขาดเนื่องจากแรงเฉือน ฉะนั้น

$$T = \frac{Fd}{2} = \frac{bl\tau d}{2} \quad (2.11)$$

โดยที่  $T$  = โมเมนต์บิดบนเพลา , N.m

$F$  = แรงที่กระทำกับลิ่ม , N

$d$  = ขนาดเส้นผ่านศูนย์กลางเพลา , m

$b$  = ความกว้างของลิ่ม , m

$l$  = ความยาวของลิ่ม , m

$\tau$  = ความคันเฉือนบนลิ่ม , Pa

แต่เมื่อคิดว่าลิ่มโคนอัดแตก

$$T = \frac{Fd}{2} = \frac{hl\sigma_c d}{4} \quad (2.12)$$

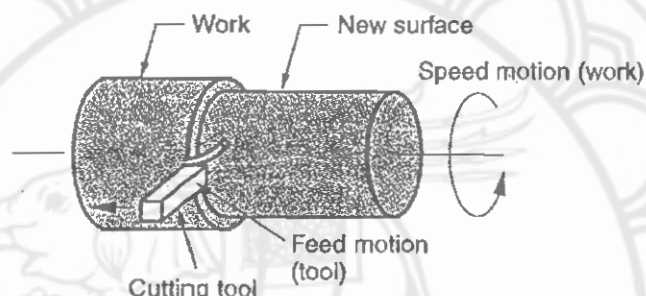
โดยที่  $h$  = ความสูงของลิ่ม , m

$\sigma_c$  = ความคันกัดบนลิ่มหรือเพลาหรือคุณล้อ , Pa

## 2.3 ทฤษฎีการ Machining

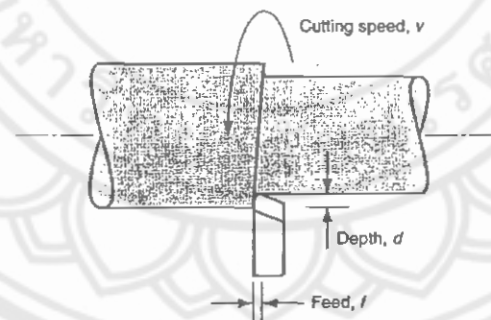
งาน Machining เป็นการขึ้นรูปชิ้นงานโดยการกำจัดโลหะส่วนที่ไม่ต้องการออกจากชิ้นงาน

**2.3.1 การกลึง** เป็นกระบวนการกำจัดส่วนของชิ้นงานที่ไม่ต้องการออกจากผิวชิ้นงานทรงกระบอกที่กำลังหมุนด้วยมีดกลึงหรือทูล (Tool) โดยมีดกลึงจะเคลื่อนที่เป็นเชิงเส้นนาคกับแกนหมุนของชิ้นงานดังแสดงในรูปที่ 2.3 และ 2.4



รูปที่ 2.3 แสดงการกลึง

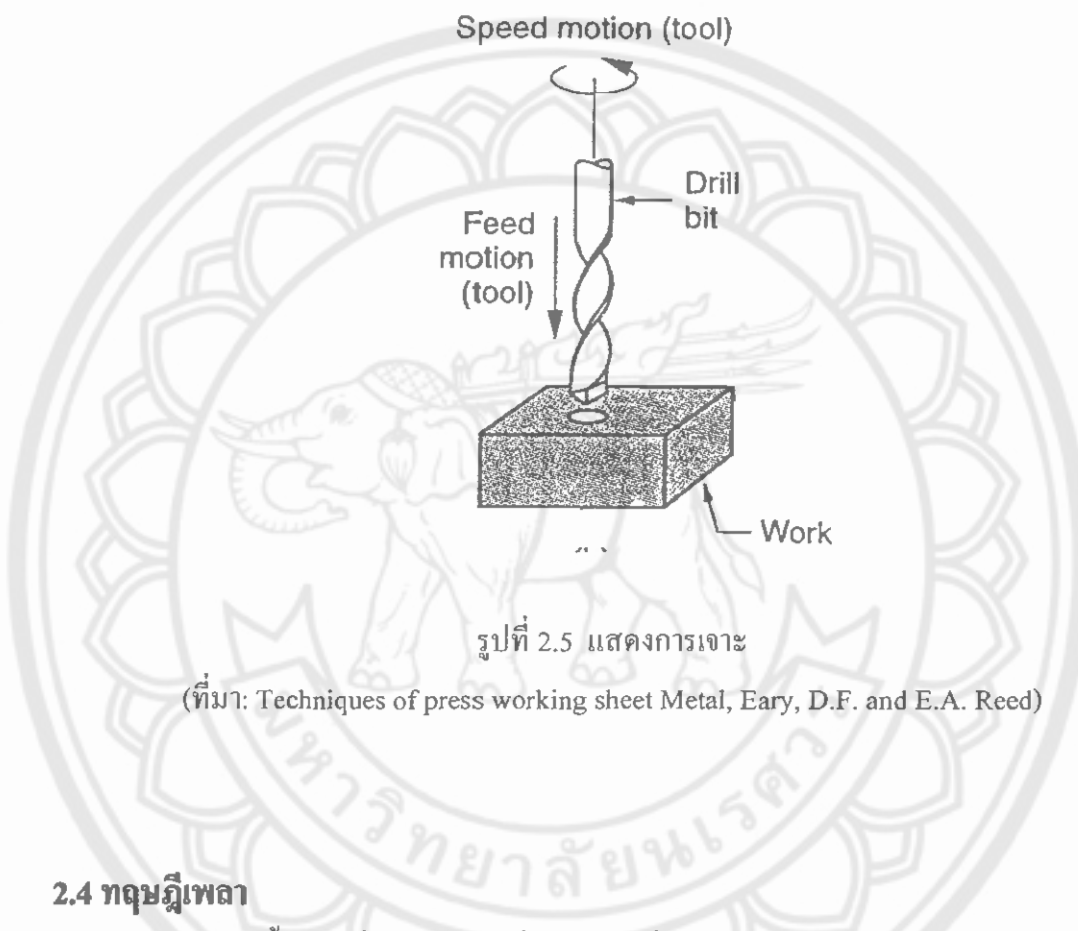
(ที่มา: Techniques of press working sheet Metal, Eary, D.F. and E.A. Reed)



รูปที่ 2.4 แสดงความเร็วตัด ระยะปื้น ความลึกตัด

(ที่มา: Techniques of press working sheet Metal, Eary, D.F. and E.A. Reed)

**2.3.2 การเจาะ** เป็นการทำให้เกิดรูกลมบนชิ้นงาน โดยเครื่องมือทรงกระบอกที่มีคมตัด 2 คม เรียกว่า ดอกสว่าน (Drill or Drill bit) โดยดอกสว่านจะหมุนเจาะลงบนชิ้นงานที่อยู่กับที่ โดยรูเจาะที่ได้จะมีขนาดเท่ากับดอกสว่าน รูปที่ 2.5



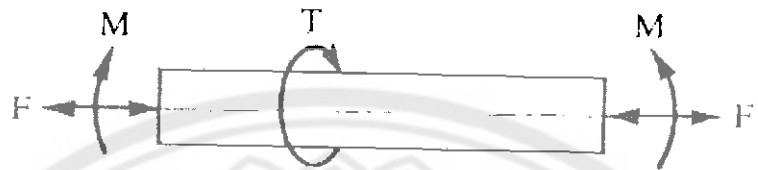
## 2.4 ทฤษฎีเพลา

เพลา เป็นชิ้นส่วนที่สำคัญของเครื่องจักรกลที่ใช้ในการถ่ายทอดกำลัง เพลาปกติโดยทั่วไป จะมีลักษณะพื้นที่เป็นวงกลม เพลาจะบีบอุ้งกับส่วนอื่น เช่น sheaves , cam , sprockets , gear , couplings , หรือ cranks ดังนั้นนอกจากการระบิด ( torsional load ) ที่เกิดจากการหมุนแล้วแรง ปฏิกิริยาที่เกิดจากส่วนยึดเหล่านี้ทำให้เกิดการระดัด( bending load ) ขึ้นในเพลาด้วย

### 2.4.1 การคำนวณความเค้นต่างๆที่เกิดขึ้นกับเพลาเมื่อดึงต่อไปนี้

ได้มีการยอมรับวิธีการคำนaculaของเพลาส่งกำลังซึ่งกำหนดเป็น กode (Code) โดยสมาคม วิศวกรรมเครื่องกลแห่งสหรัฐอเมริกา(ASME) ใช้ทฤษฎีความเค้นสูงสุดและจะไม่พิจารณาถึงความถี่ หรือความเค้นหนาแน่นที่เกิดขึ้นกับเพลา ซึ่งเป็นการออกแบบโดยวิธีสถิติศาสตร์ ( static design method) ในการหาสมการจะพิจารณาเพลาในรูปที่ 2.6 ให้เพลาเป็นแบบกลมและกลวง โดยมี

ขนาดเส้นผ่านศูนย์กลางภายในและภายนอกเท่ากับ  $d_i$  และ  $d$  ตามลำดับ ความเกินต่างๆที่เกิดขึ้นกับเพลาไม้ดังนี้



รูปที่ 2.6 เพลาอยู่ภายใต้แรงต่าง

(ที่มา: การออกแบบเครื่องจักรกล 1, ดร. วิริทธิ์ อึงภากรณ์ และชาญ ณัชงาน)

$$\text{ความเกินดึงหรืออัด } \sigma_a = \frac{4F}{\pi(d^2 - d_i^2)} \quad (2.13)$$

$$\text{ความเกินดัด } \sigma_b = \frac{32 \cdot C_m \cdot M \cdot d}{\pi(d^2 - d_i^2)} \quad (2.14)$$

$$\text{ความเกินเฉือน } \tau_{xy} = \frac{16 \cdot C_t \cdot T \cdot d}{\pi(d^2 - d_i^2)} \quad (2.15)$$

- โดยที่  $C_m$  = ตัวประกอบความล้านี้ของจากการดัด (ดูได้จากตารางที่ 1 ภาคผนวก ก)  
 $C_t$  = ตัวประกอบความล้านี้ของจากการบิด (ดูได้จากตารางที่ 1 ภาคผนวก ก)  
 $M$  = โภmen ต์คัด , N.m  
 $T$  = โภmen ต์บิด , N.m

$$\text{ความเกินรวม } \sigma = \sigma_a + \sigma_b \quad (2.16)$$

$$\text{ความเกินเฉือนรวม } \tau = \left( \tau_{xy}^2 + \left( \frac{\sigma}{2} \right)^2 \right)^{\frac{1}{2}} \quad (2.17)$$

จากสมการ 2.14, 2.15 และ 2.16 จะได้

$$d^3 = \frac{16}{\pi \tau (1 - K^4)} ((C_t \cdot T)^2 + (C_m \cdot M)^2)^{\frac{1}{2}} \quad (2.18)$$

โดยที่  $K = d_i / d$

กรณีเพลาดันจะได้

$$d^3 = \frac{16}{\pi \tau} ((C_t \cdot T)^2 + (C_m \cdot M)^2)^{\frac{1}{2}} \quad (2.19)$$

ตารางที่ 2.4 ขนาดระบุของเพลาตามมาตรฐาน ISO/R775-1969

ขนาดเส้นผ่านศูนย์กลางเป็น mm				
6	25	70	130	240
7	30	75	140	260
8	35	80	150	280
9	40	85	160	300
10	45	90	170	320
12	50	95	180	340
14	55	100	190	360
18	60	110	200	380
20	65	120	220	

(ที่มา: การออกแบบเครื่องจักรกล 1, ดร. วริทธิ์ อึงภากรณ์ และชาญ ณัดงาน)

#### 2.4.2 ความเร็วิกฤตของเพลา

ในทางปฏิบัติแล้ว จุดศูนย์ถ่วงของมวลของเพลาจะอยู่เบื้องไปจากจุดศูนย์กลางการหมุนของเพลา ทั้งนี้เนื่องมาจากการหมุนของเพลา ทำให้เกิดระยะโถงในขณะที่หัวไม่

1) ในการผลิตเพลามวลเพลามีได้กระจายออกอย่างสม่ำเสมอ

2) น้ำหนักของเพลา เพื่อง วงล้อสายพาน และอื่นๆ ทำให้เกิดระยะโถงในขณะที่หัวไม่

หมุน

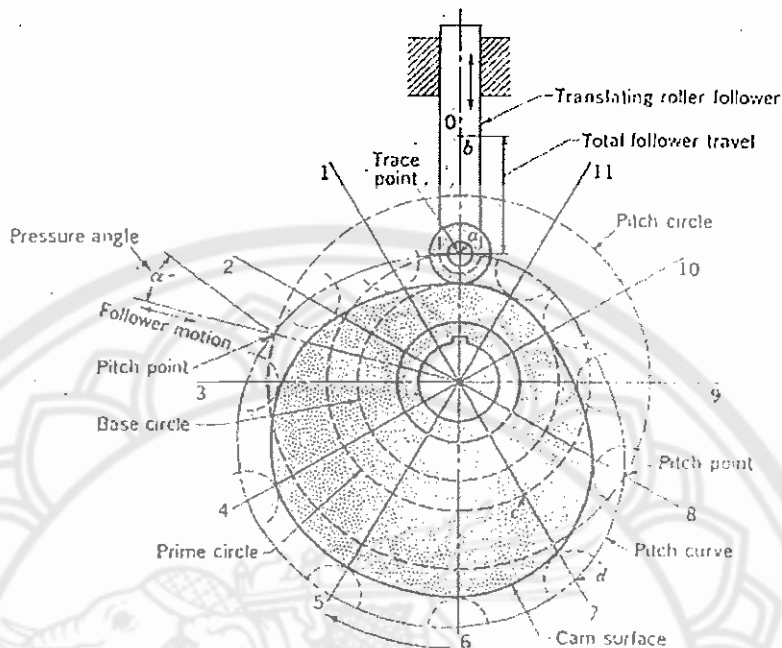
เมื่อเพลาเริ่มหมุนเร็วขึ้น พลังงานจลน์ของมวลจะมีค่าเพิ่มขึ้นจนกระทั่งมีค่าเท่ากับพลังงานศักย์ของเพลาที่ทำให้เกิดระยะโถงตัวของเพลาในขณะอยู่นั่ง ซึ่งจะเป็นผลให้เกิดการสั่นสะเทือนอย่างรุนแรง ความเร็วของเพลาในขณะที่เกิดปรากฏการณ์นี้ เรียกว่า ความเร็วิกฤต (critical speed)

## 2.5 หมุนลูกเบี้ยว

ชุดลูกเบี้ยจะประกอบด้วยลูกเบี้ย (cam) และก้านลูกเบี้ยว (follower) เป็นอุปกรณ์ที่ใช้ถ่ายทอดการเคลื่อนที่หมุนหรือแก่วงไปมาให้เป็นการเคลื่อนที่ซ้ำแบบเชิงเส้นหรือเชิงมุม

### 2.5.1 ส่วนประกอบต่างๆของลูกเบี้ย

- Base Circle คือวงกลมที่เล็กที่สุดที่สามารถเขียนไปสัมผัสด้วยวงลูกเบี้ย โดยใช้จุดศูนย์กลางลูกเบี้ยเป็นจุดศูนย์กลาง ดังรูปที่ 2.7
- Trace Point คือจุดที่ทางเดินจะทำให้เกิดเป็น Pitch Curve
- Pressure Angle คือมุมระหว่างแนวทางการเคลื่อนที่ของตัวดาม กับเส้นดังนั้น กับ Pitch Curve ที่จุดนั้นๆ
  - Pitch Point คือจุดบน Pitch Curve ซึ่งเป็นจุดที่มีค่านูม Pressure Angle มากที่สุด
  - Pitch Circle คือวงกลมที่มีรัศมีเท่ากับระยะจากจุดศูนย์กลางลูกเบี้ยถึงจุด Pitch Point
  - Prime Circle คือวงกลมที่เล็กที่สุดที่สามารถเขียนไปสัมผัสด้วยวง Pitch Circle โดยใช้จุดศูนย์กลางของลูกเบี้ยเป็นจุดศูนย์กลาง



รูปที่ 2.7 ส่วนประกอบต่างๆ ของลูกเบี้ยว  
(ที่มา: กต. ไกและผลศาสตร์ของเครื่องจักรกล, รศ. วุฒิชัย กปีลกานุจัน)

### 2.5.2 Displacement Diagram

Displacement Diagram เป็นกราฟที่แสดงความสัมพันธ์ระหว่างการขัดของตัวตามที่เคลื่อนที่กับจำนวนองศาที่ลูกหมุน ไปหรือเวลาที่ใช้ในการหมุน โดยจำนวนองศาของลูกเบี้ยวจะอยู่ในแกนราย และการขัดของตัวตามอยู่ในแนวตั้ง Diagram นี้จะเป็นตัวกำหนดรูปร่างลูกเบี้ยว ลูกเบี้ยวแต่ละลูกจะมีแบบการเคลื่อนที่ของตัวตามที่แตกต่างกันไป เช่น เคลื่อนที่แบบความเร่งคงที่ เคลื่อนที่แบบความเร็วคงที่ เคลื่อนที่แบบ Simple Harmonic Motion เคลื่อนที่แบบ Cycloidal Cycloid

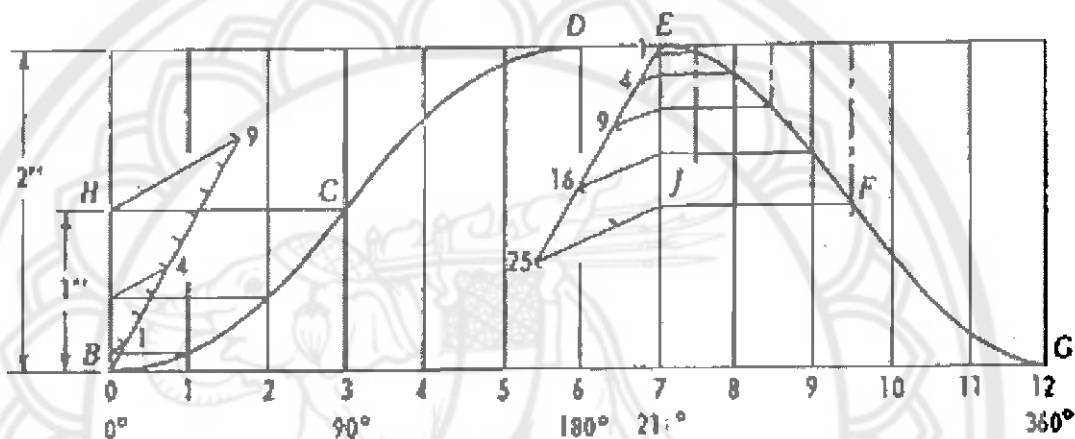
#### 2.5.2.1 เคลื่อนที่แบบความเร่งคงที่ (Constant Acceleration)

ความเร่งคงที่เป็นการเคลื่อนที่ที่มีสมการความสัมพันธ์ระหว่าง ความเร่ง การขัด และเวลาคือ

$$S = \frac{1}{2} at^2 \quad (2.20)$$

โดยที่  $S$  = การเดิน , m  
 $a$  = ความเร่ง ,  $m/s^2$   
 $t$  = เวลา , s

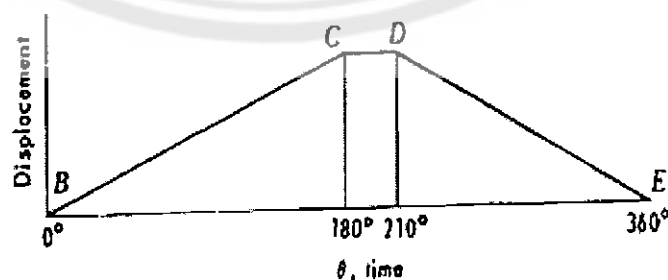
เนื่องจากกราฟที่ได้จากสมการที่(2.20) เป็นเส้นโค้งแบบ Parabola ดังนั้นบางครั้งการเคลื่อนที่แบบนี้เรียกว่า Parabolic Motion จะได้ Displacement Diagram ดังรูปที่2.8



รูปที่2.8 Displacement Diagram เคลื่อนที่แบบความเร่งคงที่  
(ที่มา: กต.ไกและพลศาสตร์ของเครื่องจักรกล, รศ.วุฒิชัย กปีลกานุจัน)

### 2.5.2.2 ความเร็วคงที่ (Modified Constant Velocity)

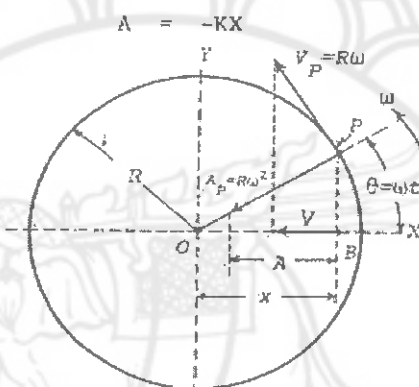
ความเร็วคงที่เป็นการเคลื่อนที่ที่มีสมการความสัมพันธ์ระหว่าง การขัด กับเวลาจะมี กราฟเป็นเส้นตรงจะได้ Displacement Diagram ดังรูปที่2.9



รูปที่2.9 Displacement Diagram ความเร็วคงที่  
(ที่มา: กต.ไกและพลศาสตร์ของเครื่องจักรกล, รศ.วุฒิชัย กปีลกานุจัน)

### 2.5.2.3 S.H.M. (Simple Harmonic Motion)

อนุภาคจะมีการเคลื่อนที่เป็นแบบ S.H.M. ถ้าความเร่งของอนุภาคนั้นเป็นสัดส่วนกับการขัด (โดยวัดจากจุดคงที่) และมีทิศทางตรงข้ามกัน พิจารณาการเคลื่อนแบบ S.H.M. โดยพิจารณาอนุภาค P ซึ่งเคลื่อนที่ไปบนเส้นรอบของวงกลมรัศมี R ดังรูปที่ 2.10 เส้นประที่ Projection ของจุด P บนเส้นผ่านศูนย์กลางของวงกลม บนแกน X คือ จุด B จะเคลื่อนที่แบบ S.H.M. โดย OP หมุนไปด้วยความเร็วคงที่  $\omega$



รูปที่ 2.10 รูปการพิจารณาการเคลื่อนที่แบบ S.H.M.

(ที่มา: กลไกและพลศาสตร์ของเครื่องจักรกล, รศ.วุฒิชัย กปิตาภรณ์)

$$\text{การขัดของจุด B คือ } x = R \cos \omega t \quad (2.21)$$

$$V = \frac{ds}{dt} = -R \omega \sin \omega t \quad (2.22)$$

$$a = \frac{d^2 s}{dt^2} = -R \omega^2 \cos \omega t \quad (2.23)$$

โดยที่  $s$  = การขัด , m

$a$  = ความเร่ง ,  $m/s^2$

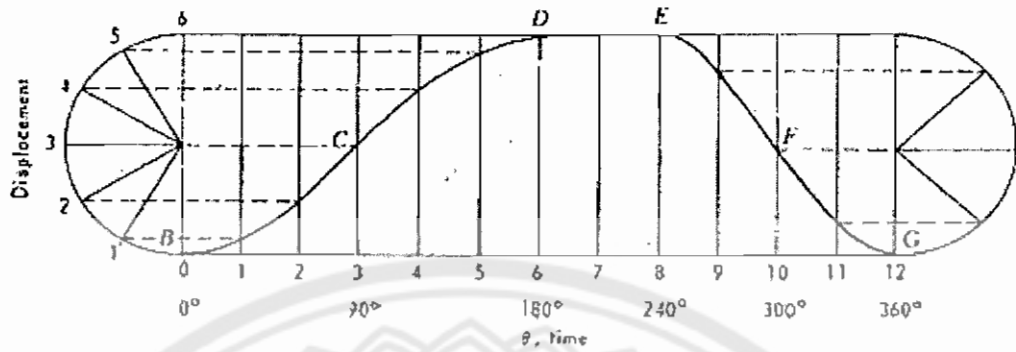
$t$  = เวลา , s

$R$  = รัศมีการเคลื่อนที่ , m

$V$  = ความเร็ว ,  $m/s$

$\omega$  = ความเร็วเชิงมุม ,  $rad/s$

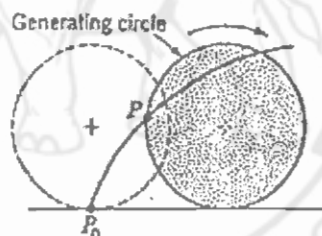
นำความสัมพันธ์ตามสมการที่ (2.21), (2.22), (2.23) เขียน Displacement Diagram ดังรูปที่ 2.11



รูปที่ 2.11 Displacement Diagram เคลื่อนแบบ S.H.M  
(ที่มา: กล.ไกและพลศาสตร์ของเครื่องจักรกล, รศ.วุฒิชัย กปีลกาญจน์)

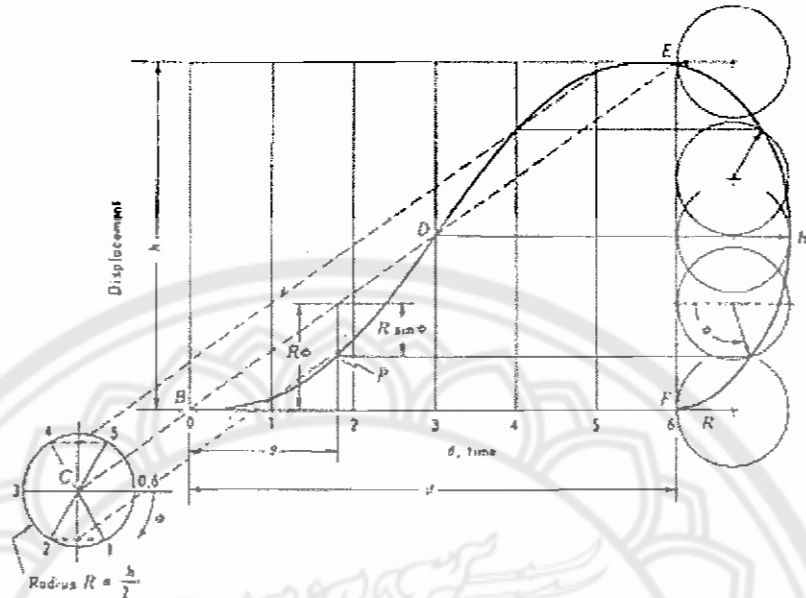
#### 2.5.2.4 Cycloidal Cycloid

Cycloidal Cycloid คือเส้นโค้งที่เป็นทางเดินของจุดที่อยู่บนเส้นรอบวงของกลมในขณะที่วงกลมนั้นเคลื่อนไปบนเส้นตรงดังรูปที่ 2.12



รูปที่ 2.12 รูปการเคลื่อนที่แบบ Cycloidal Cycloid  
(ที่มา: กล.ไกและพลศาสตร์ของเครื่องจักรกล, รศ.วุฒิชัย กปีลกาญจน์)

กราฟของการขัดสำหรับ Cycloidal Motion ที่ได้มาจากการ Cycloid ซึ่งเป็นทางเดินของจุดบนเส้นรอบวงของวงกลมในขณะที่วงกลมนั้นเคลื่อนไปบนเส้นตรงนั่นเอง ซึ่ง Displacement Diagram ดังรูปที่ 2.13



รูปที่ 2.13 Displacement Diagram เคลื่อนแบบ Cycloidal Motion  
(ที่มา: กต. ໄกและผลศาสตร์ของเครื่องจักรกล, รศ. วุฒิชัย กปฏกัญจน์)

## 2.6 ทฤษฎีของสายพาน

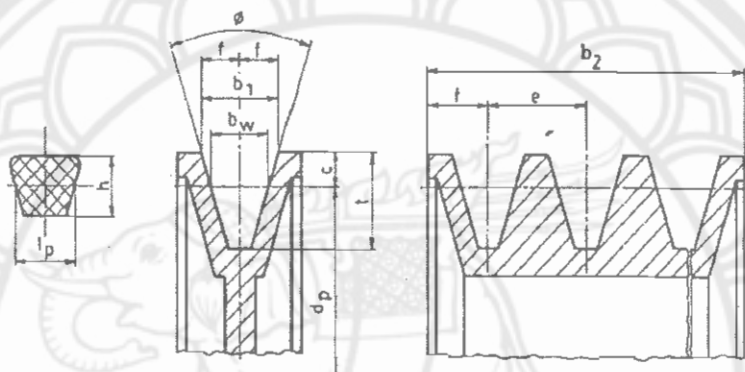
### 2.6.1 สายพานลื่น

สายพานลื่นใช้ส่งกำลังได้ค่อนข้างมาก โดยด้วยการแรงดึงขึ้นดันในสายพานค่อนข้างน้อย ทั้งนี้ เพราะผลกระทบจากการเกาะยึดตัวกันระหว่างค้านข้างของสายพานที่เรียกว่าร่องรูปลิ่มของ วงล้อ สายพาน ทำให้เกิดแรงเสียดทานสูง ซึ่งเป็นผลทำให้สายพานทำงานได้อย่างมีประสิทธิภาพดี แม้ว่าจะมีส่วนโถงสัมผัสน้อย และมีแรงดึงขึ้นดันค่อนข้างค่อนข้างต่ำ และหมายเหตุการใช้งานในกรณีที่ ระยะห่างระหว่างศูนย์กลางน้อย ในการส่งกำลังจะส่งได้มากที่สุดเมื่อค้านข้างของสายพานอัด แน่นกับร่องบนล้อสายพาน และในกรณีที่มีเหตุฉุกเฉิน ก็อาจใช้ผลจากการอัดแน่นนี้ทำหน้าที่เป็น เบรกได้ด้วย

การขับด้วยสายพานลื่นมีข้อดี คือเงิน สะอาด และสามารถรับแรงกระตุกได้ นอกจากนั้น ยังมีขนาดกะตัวรับ มีประสิทธิภาพดี และแบร์ริ่งของพลาไม่ต้องรับแรงมากเกินไป จึงมักใช้ในการ ขับทางค้านอุคสาหกรรมทั่วไป ซึ่งใช้สายพานขับได้โดยมีอัตราการทดสูงประมาณ 7 : 1 หรืออาจ ใช้ได้สูงถึง 10:1

## 2.6.2 ขนาดสายพานและวงล้อสายพานลิ้น

สายพานลิ้น มีหน้าตัดเป็นรูปปลิ่ม ดังนั้นในการกำหนดขนาดจึงมักกำหนดโดยใช้ ความกว้างพิทซ์ (pitch width) และความหนาสายพานโดยใช้ตัวอักษรแทนซึ่งแบ่งออกเป็นสายพานลิ้น แบบแคบ (narrow V-belts) มีขนาด SPZ SPA SPB และ SPC และสายพานลิ้นธรรมดามีขนาด Y Z A B C D และ E ซึ่งในที่นี้จะกล่าวถึงเฉพาะสายพานลิ้นแบบธรรมดากันที่น้ำหนัก รูปร่างหน้าตัดของสายพานลิ้นและล้อสายพาน ดูได้จากรูปที่ 2.14 ส่วนขนาดต่าง ๆ (ดูได้จากตารางที่ 2 และ 3 ภาคผนวก ก)



รูปที่ 2.14 หน้าตัดสายพานลิ้นและวงล้อสายพาน

(ที่มา: การออกแบบเครื่องจักรกล 2, ดร.วิธิชัย อึ้งภากรณ์ และชาญ ณัคจัน)

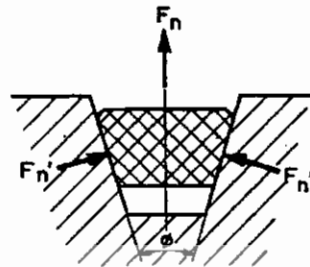
## 2.6.3 กลศาสตร์ของสายพานลิ้น

ในการขับด้วยสายพานลิ้น แรงปฏิกิริยาจะห่วงสายพานกับวงล้อสายพานจะอยู่ในทิศทางตั้งฉากกับผิวสัมผัส ดังรูปที่ 2.15 ให้  $F_n$  เป็นแรงปฏิกิริยาในแนวตั้งจากกระหว่างผิวสัมผัสของสายพานกับร่องบนวงล้อสายพาน มีสมการเป็น

$$2fF_n = dF \quad (2.24)$$

แรงปฏิกิริยาร่วมของแรง  $F_n$  ทั้งสองแรงคือ

$$W_p = z(F_1 - F_2)v \quad (2.25)$$



รูปที่ 2.15 แสดงแรงบนสายพานลิ่ม  
(ที่มา: การออกแบบเครื่องจักรกล 2, ดร.วิธีร์ อึ้งภากรณ์ และชาญ ณัดงาน)

และกำลังที่ส่งได้โดยสายพานลิ่มหากค่าได้จากสมการ

$$W_p = z(F_1 - F_2)v \quad (2.26)$$

โดยที่  $v$  = ความเร็วของสายพานเป็น, m/s

$z$  = จำนวนสายพาน, เส้น

$F_1$  = แรงดึงในด้านดึง, N

$F_2$  = แรงดึงในด้านหัก, N

ความขาวพิดช์โดยประมาณของสายพานลิ่มหากค่าได้จากสมการ

$$L_p = 2C + 1.57(D_p + d_p) + \frac{(D_p + d_p)^2}{4C} \quad (2.27)$$

โดยที่  $D_p$  = ขนาดเส้นผ่านศูนย์กลางพิดช์ของวงล้อสายพานตาม, m

$d_p$  = ขนาดเส้นผ่านศูนย์กลางพิดช์ของวงล้อสายพานขับ, m

$C$  = ระยะห่างศูนย์กลางของวงล้อสายพาน, m

ในการนี้ที่ทราบความขาวพิดช์แล้วต้องการหาระยะห่างระหว่างศูนย์กลางก็ทำได้โดยใช้สมการ

$$C = p + \sqrt{p^2 + q} \quad (2.28)$$

โดยที่  $p = 0.25L_p - 0.393(D_p - d_p)$

$$q = 0.125(D_p - d_p)^2$$

#### 2.6.4 การทำให้เกิดแรงดึงชั้นตันในสายพานลิ่ม

การทำให้เกิดแรงดึงชั้นตันจะช่วยทำให้การขับด้วยสายพานมีประสิทธิภาพดี และยืดอายุการใช้งานของสายพาน ถ้าออกแบบชั้นตันไม่เพียงพอจะทำให้ส่งกำลังได้น้อยลง ประสิทธิภาพต่ำลง ทำให้สายพานมีอายุการใช้งานลดลงเนื่องจากการสลิป แต่ถ้าออกแบบชั้นตันมากเกินไป

จะทำให้ขอบสายพานขัดตัวมากเกินไป เกิดความเห็นในสายพานมากແริงที่รองรับวงล้อสายพาน จะรับแรงมากเกินไป ด้วยเหตุนี้เองจึงต้องออกแบบดึงชิ้นคันให้เหมาะสมกับแรงภายนอกที่กระทำกับสายพาน จากสมการแรงดึงชิ้นคันในสายพานขณะส่งกำลังคือ

$$F_i = \left( k_1 F + z k_2 v^2 \right) \sin \frac{\alpha}{2} \quad (2.29)$$

โดยที่	$F = F_1 - F_2$
	$k_1, k_2 =$ ตัวประกอบใช้งาน
$z$	= จำนวนสายพาน , เส้น
$\alpha$	= มุมสัมผัส , องศา

### 2.6.5 การคำนวณหาขนาดของสายพานลิ่ม

ในการเลือกขนาดของวงล้อสายพาน บริษัทผู้ผลิตได้แนะนำให้เลือกขนาดของล้อสายพานให้โดยที่สุดเท่าที่จะทำได้ ขนาดของล้อสายพานไม่ควรจะเล็กกว่าค่าที่กำหนดไว้ในตารางที่ 2 (ภาคผนวก ก) แต่ข้อควรระวังคือ ขณะใช้งานปกติความเร็วของสายพานไม่ควรสูงกว่า 30 m/s

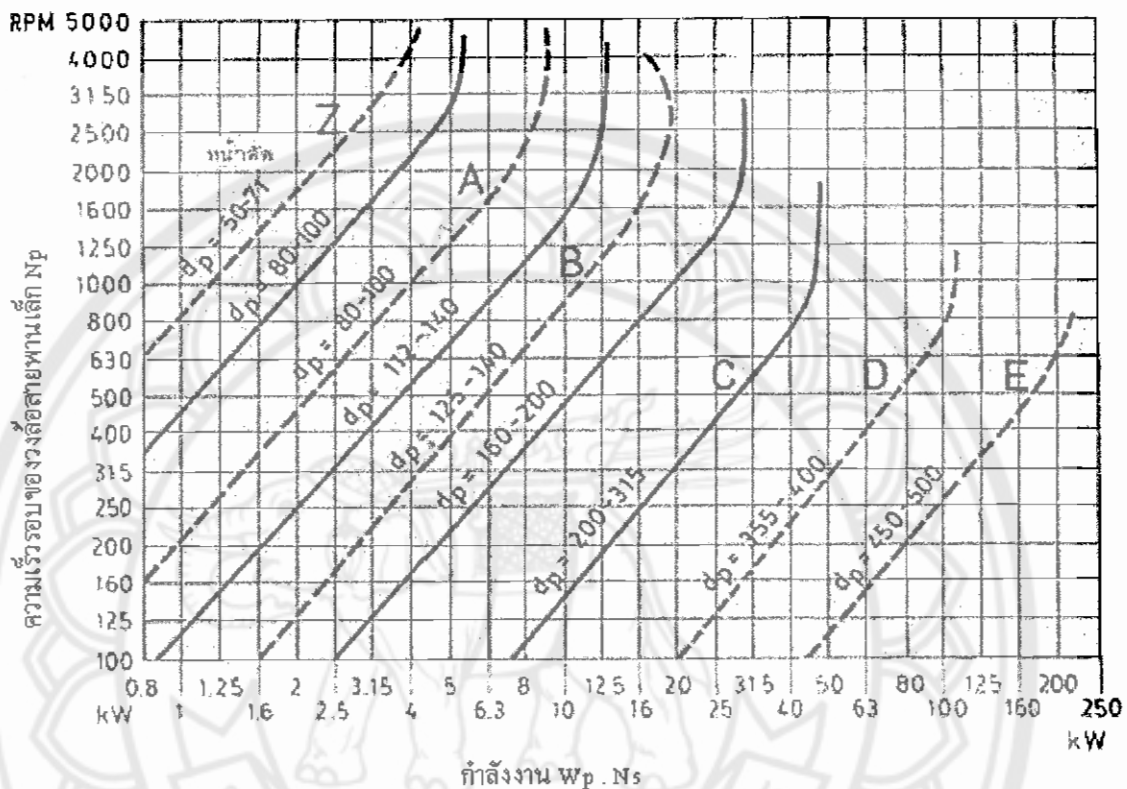
การหาขนาดหน้าตัดโดยประมาณของสายพานลิ่มสำหรับการส่งกำลัง อาจทำได้โดยใช้รูปที่ 2.16 แต่กำลังที่ส่งได้จริงของสายพานจะต้องตรวจสอบจากตารางการกำหนดสมรรถนะในการส่งกำลังของสายพานลิ่ม

การเลือกขนาดของสายพานลิ่มจะใช้วิธีการคำนวณหาจำนวนเส้นของสายพานลิ่มที่ต้องการ ใช้งานจากกำลังงานที่ต้องการขับ และตัวประกอบที่ใช้แก้ไขต่าง ๆ จำนวนเส้นของสายพานลิ่มได้จากการ

$$z = \frac{W_p \cdot N_s}{P_R \cdot N_a \cdot N_l} \quad (2.30)$$

โดยที่	$z$ = จำนวนเส้นของสายพานลิ่ม , เส้น
$W_p$	= กำลังงานที่ต้องการส่ง , W
$N_s$	= ตัวประกอบใช้งาน(คูณจากตารางที่ 4 ภาคผนวก ก)
$N_a$	= ตัวประกอบแก้ไขส่วนໂຄ้งสัมผัส(คูณจากตารางที่ 5 ภาคผนวก ก)
$N_l$	= ตัวประกอบแก้ไขความยาวสายพาน (belt length correction factor) (คูณจากตารางที่ 6 – 12 ภาคผนวก ก)

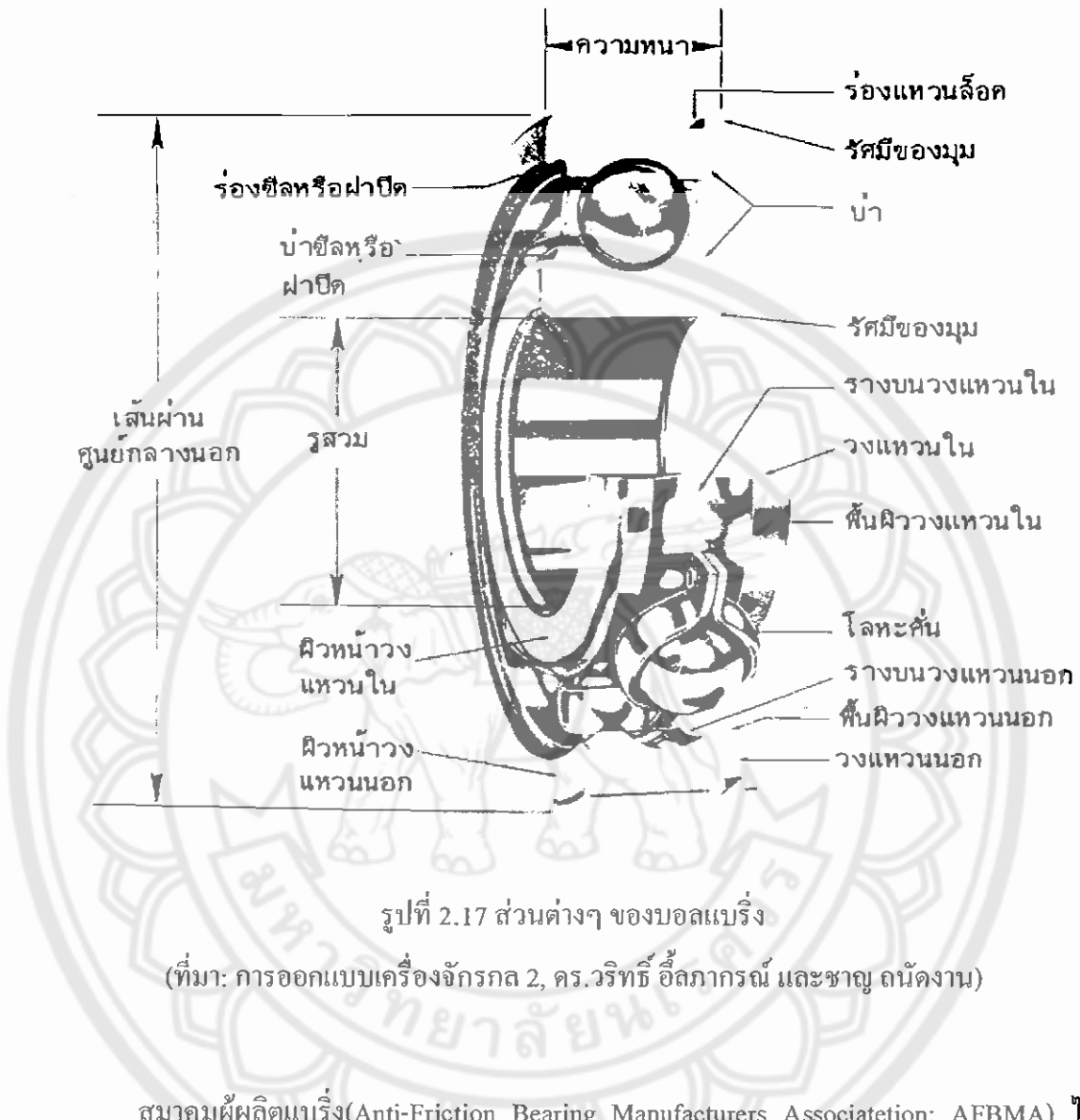
$P_R$  = กำลังที่สายพานลิ่มเดินหนึ่งเดินส่างได้ (ดูได้จากตารางที่ 6 – 12  
ภาคผนวก ก)



รูปที่ 2.16 แผนภูมิใช้ในการเลือกขนาดหัวตัดของสายพานลิ่ม  
(ที่มา: การออกแบบเครื่องจักรกล 2, ดร. วิธิชัย อึ้งภากรณ์ และชาญ ณัคจัน)

## 2.7 ทฤษฎีโรลลิ่งแบริ่ง

โรลลิ่งริง (Rolling Bearing) หมายถึง แบริ่งที่รับแรงโดยอาศัยชิ้นส่วนของแบริ่งที่มีลักษณะเป็นผิวสัมผัสแบบวงกลมลักษณะเดียวกันทำให้มีแรงเสียดทานน้อยมาก ซึ่งประกอบด้วยเห็นเหล็กกล้าสองวงที่แยกออกจากกันด้วยลูกกลิ้งทรงกลม ที่อยู่รับแรงจากวงแหวนหนึ่งส่งผ่านไปยังวงแหวนอีกวงหนึ่งโดยการกลิ้งไปบนวงแหวน ดังรูปที่ 2.17



รูปที่ 2.17 ส่วนต่างๆ ของบล๊อกเบริ่ง  
(ที่มา: การออกแบบเครื่องจักรกล 2, ดร. วิธีชัย อีสาการณ์ และชาญ ณัดงาน)

สมาคมผู้ผลิตเบริ่ง (Anti-Friction Bearing Manufacturers Association: AFBMA) ได้กำหนดขนาดและหลักเกณฑ์ที่จะใช้เลือกเบริ่งขึ้น ทำให้สามารถเลือกเบริ่งจากแค็ตตาล็อกของผู้ผลิตต่างๆ ได้

#### ข้อดีของโรลลิ่งเบริ่งเมื่อเปรียบเทียบกับเจอร์นัลเบริ่ง

1. มีความเสียดทานขณะสตาร์ทน้อย
2. ง่ายต่อการหล่อลื่นและดูแลรักษา
3. ใช้ปริมาณสารหล่อลื่นน้อย
4. ใช้เนื้อที่ทางด้านแกนน้อย
5. สามารถรับแรงรุน (Thrust load) และแรงในแนวรัศมีได้พร้อมกัน

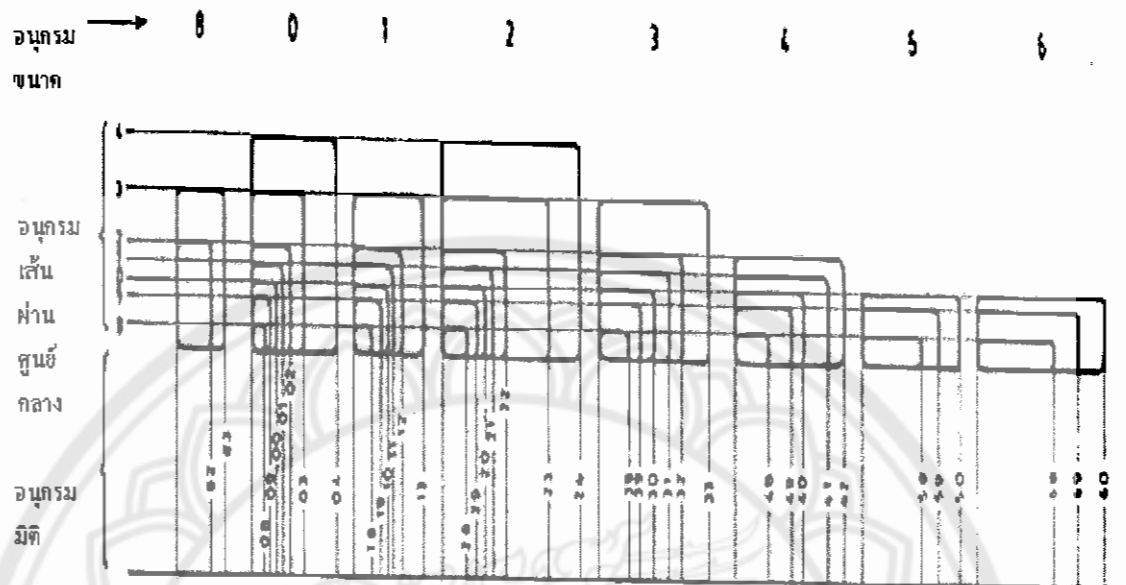
6. สามารถที่จะทราบได้ว่าเบริ่งกำลังจะเสีย โดยสังเกตจากเสียงดังที่ผิดปกติ
7. มีเคลื่อนช์น้อยมาก
8. สามารถรองรับเพลาในตำแหน่งใดๆ ได้
9. ทำการติดตั้งได้ง่าย

#### **ข้อเสียของโรลลิ่งเบริ่งเมื่อเปรียบเทียบกับเซอร์นอลเบริ่ง**

1. ใช้เนื้อที่ทางด้านรัศมี (radial space) มากกว่า
2. โดยปกติราคาแพงกว่า
3. ขณะทำงานมีเสียงดังกว่า เนื่องจากมีการสัมผัสระหว่างผิวของลูกกลิ้งและวงแหวนข้างในบางขณะ
4. อายุการใช้งานสั้นกว่า หันนี้เนื่องจากความเค้นที่เกิดขึ้นมีค่าสูงและการทำซ้ำกัน (repeated load) จึงทำให้วัสดุเกิดความล้า
5. เมื่อมีแรงกระแทกทำให้อายุการใช้งานลดลงได้มาก

#### **2.7.1 นิติมาตรฐานของโรลลิ่งเบริ่ง**

มาตรฐานนี้จะบอกนิติภัยนอกของเบริ่งคือขนาดเส้นผ่าศูนย์กลางภายนอกภายนอกและความหนา ส่วนนิติภัยในเบริ่งผู้ผลิตจะเป็นผู้ออกแบบ โดยมาตรฐานนี้จะแสดงได้ดังรูปที่ 2.18 ขอบเขตของมิติ สำหรับอนุกรมของเบริ่งต่างๆ จะเห็นได้ว่าผู้ออกแบบสามารถเลือกใช้เบริ่งที่มีความหนาตามความต้องการได้ โดยที่ขนาดเส้นผ่าศูนย์กลางภายนอกเปลี่ยนไปเป็นขนาดต่างๆ กันได้ ความเสียดทานในโรลลิ่งเบริ่งมีความเสียดทานน้อยมาก



รูปที่ 2.18 ขอบเขตของมิติ สำหรับอนุกรมของแบร์งค์ต่างๆ  
(ที่มา: การออกแบบเครื่องจักรกล 2, ดร. วิริทธิ์ อี้ภากรณ์ และชาญ ณัคจาน)

## 2.7.2 อายุการใช้งานของแบร์ง

แบร์งที่ได้รับการติดดึงและหล่อลิ่นอย่างดีปราศจากผุนหรือเศษผงและไม่อยู่ภายใต้แรงกระทำที่มีค่ามากเกินความสามารถของแบร์งจะรับไว้ได้ แบร์งจะเสียหายเนื่องจากความล้า AFBMA ได้กำหนดพื้นฐานสำหรับการประเมินค่ามาตรฐานของอายุการใช้งานแบร์ง L แบร์งเป็นสัดส่วนกับแรงในแนวรัศมี P คือ

$$L \propto \frac{1}{P^k} \quad (2.31)$$

โดยที่ ค่าคงที่  $k = 3$  สำหรับผลแบร์ง  
 $k = 3.33$  สำหรับໂຮດເລອຣ์แบร์ง

อายุใช้งานนับเป็นชั่วโมงที่ความเร็วของเพลาอันหนึ่งหรือนับเป็นจำนวนล้านรอบจากสมการ

$$\frac{L_1}{L_2} = \left( \frac{P_2}{P_1} \right)^k \quad (2.32)$$

ญ  
ญ  
225  
226  
2548

ก 3859009



จากสมการ ถ้าลดแรงลง 1 เท่าแล้ว อายุใช้งานของบอดี้เบร์จจะเพิ่มขึ้น 8 เท่า สำหรับ เสื้อ  
เสื้อกันหนาว  
เลอร์เบร์จ อายุใช้งานจะเพิ่มขึ้น 10.06 เท่า ดังนั้น จึงต้องระมัดระวังในการคำนวณหาขนาดของ  
แรงที่กระทำต่อเบร์จให้ใกล้เคียงความเป็นจริงที่สุด

17 มี.ค.

